

AGH UNIVERSITY OF SCIENCE AND TECHNOLOGY

WYDZIAŁ FIZYKI I INFORMATYKI STOSOWANEJ
KIERUNEK STUDIÓW: FIZYKA TECHNICZNA



METODY MONTE CARLO

Laboratorium 10

Propagacja sygnału elektrycznego w linii transmisyjnej, problem zależny od czasu

zrealizował
Przemysław Ryś

Kraków, 14 Maj 2024

1 Opis zagadnienia

Sygnał elektryczny przemieszczający się w jednowymiarowej linii transmisyjnej opisujemy przy użyciu rozkładu napięcia $u(x, t)$ oraz prądu $i(x, t)$. Obie wielkości są ze sobą ściśle związane i opisane równaniami telegrafistów.

1.1 Sformułowanie różniczkowe problemu

Równania telegrafistów w postaci różniczkowej:

$$\frac{\partial u}{\partial x} = -L \frac{\partial i}{\partial t} - Ri \quad (1)$$

$$\frac{\partial i}{\partial x} = -C \frac{\partial u}{\partial t} - Gu \quad (2)$$

gdzie L, C, R, G to indukcyjność, pojemność, opór i konduktancja linii na jednostkę długości.

1.2 Sformułowanie całkowe problemu

Transformacja do postaci całkowej z wykorzystaniem metod linii prowadzi do rozwiązania:

$$f(x, t) = f_0(x - ct)e^{-(\lambda+\mu)t} + \frac{\lambda}{\lambda + \mu} \int_0^t e^{-(\lambda+\mu)s} b(x - cs, t - s) ds \quad (3)$$

$$b(x, t) = b_0(x + ct)e^{-(\lambda+\mu)t} + \frac{\lambda}{\lambda + \mu} \int_0^t e^{-(\lambda+\mu)s} f(x + cs, t - s) ds \quad (4)$$

Parametry λ i μ są zdefiniowane następująco:

$$\lambda = \frac{1}{2} \left(\frac{R}{L} - \frac{G}{C} \right), \quad \mu = \frac{G}{C} \quad (5)$$

1.3 Warunki brzegowe

Warunki brzegowe na krańcach linii:

$$f(0, t) = \zeta V g(t) + \Gamma_g b(0, t) \quad (6)$$

$$b(l, t) = \Gamma_l f(l, t) \quad (7)$$

gdzie $\zeta, \Gamma_g, \Gamma_l$ są współczynnikami zdefiniowanymi w tekście.

1.4 Parametry

Do obliczeń przyjmujemy następujące parametry linii:

$$\begin{aligned} L &= 0.25 \mu H, & C &= 100 pF, \\ R &= 12.5 \Omega, & G &= 0.5 mS, \\ l &= 2 m, & R_l &= 12.5 \Omega, \\ R_g &= 75 \Omega. \end{aligned}$$

Potencjał generowany przez źródło napięcia:

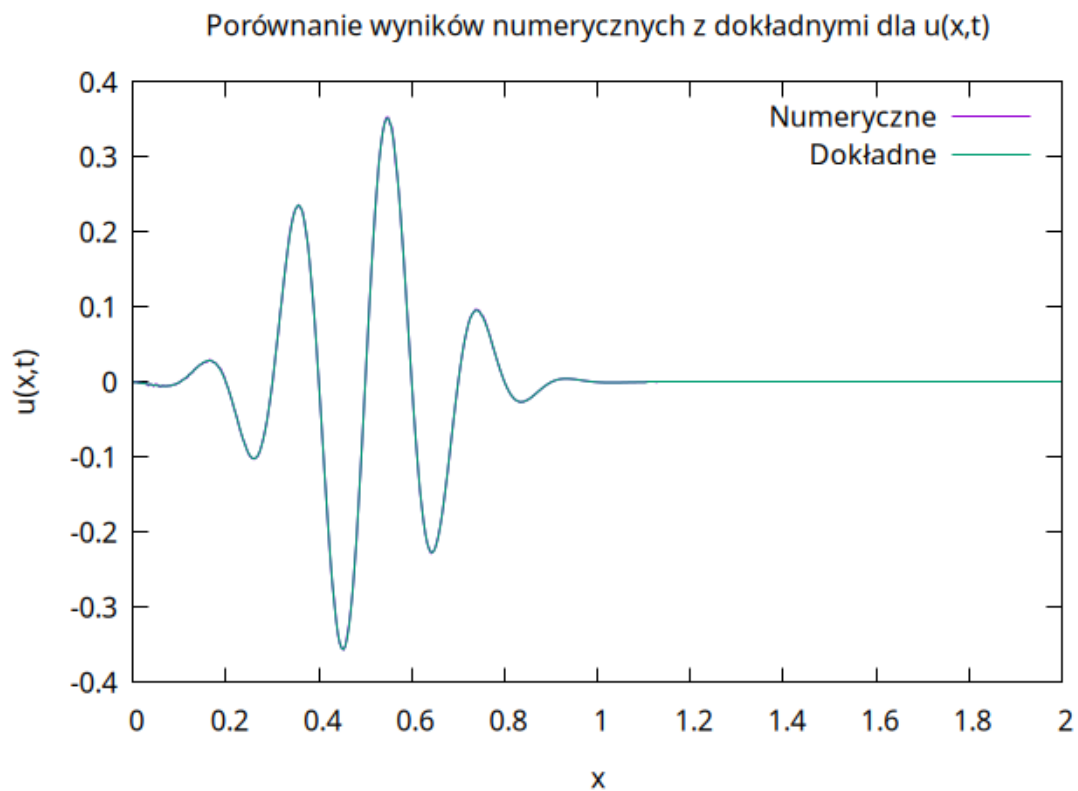
$$V_g(t) = \sin(2\pi\nu t) \exp\left(-\frac{(t - t_0)^2}{2\sigma^2}\right),$$

gdzie $\nu = 1 GHz, t_0 = 7.5 ns, \sigma = 0.75 ns$.

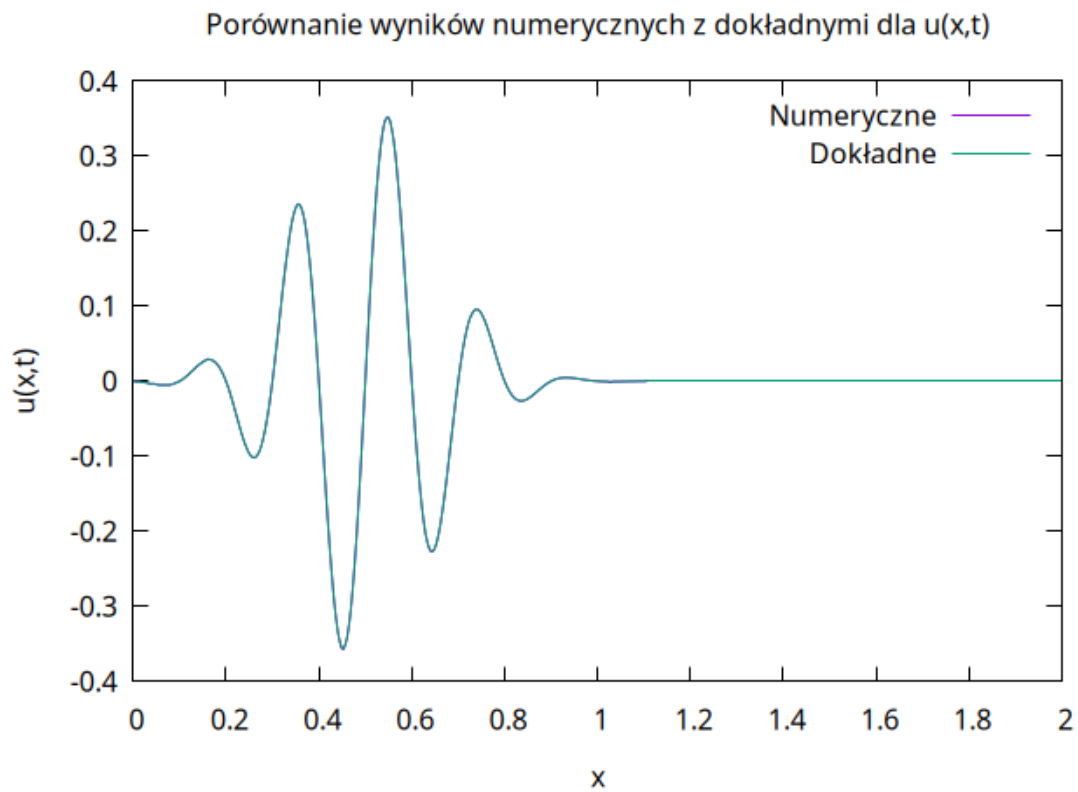
Następnie wykonałem symulacje MC w celu określenia rozkładu napięcia $u(x, t)$ wzdłuż całej linii dla chwil czasowych: $t = 10, 15, 25, 35, 50 ns$ oraz liczby trajektorii $npaths = 10^3, 10^4, 10^5$. Rozkład napięcia określa wyrażenie:

$$u(x, t) = f(x, t) + b(x, t).$$

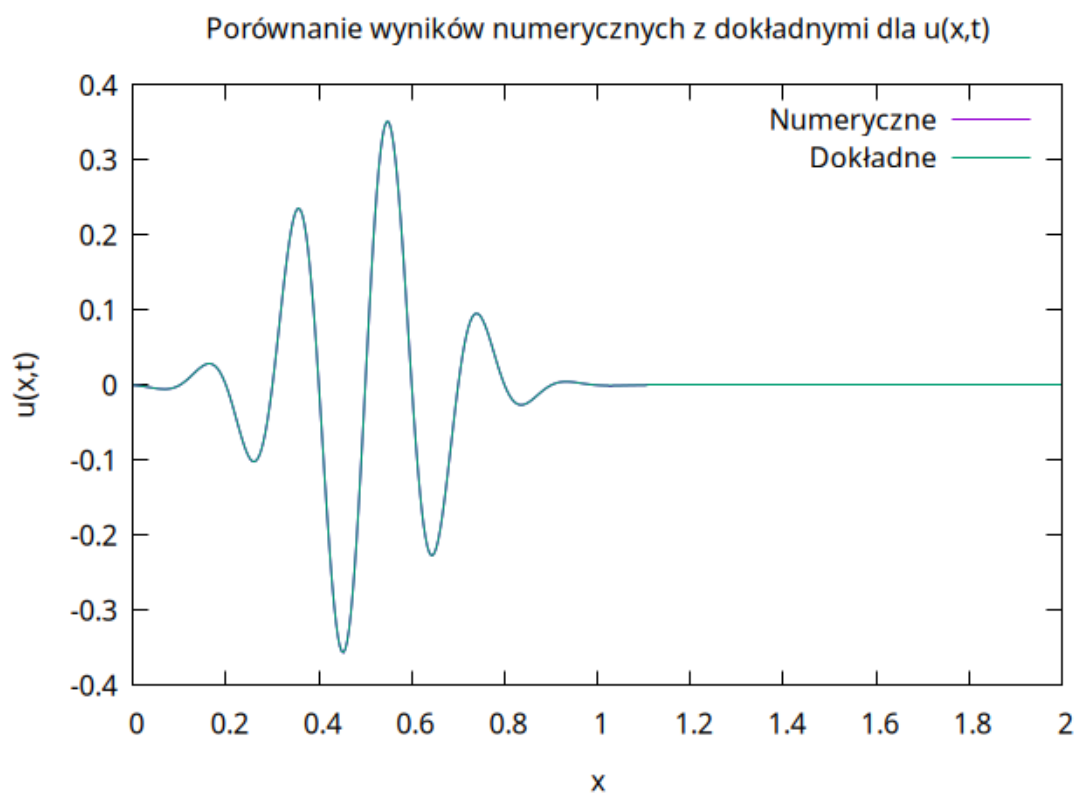
2 Wyniki



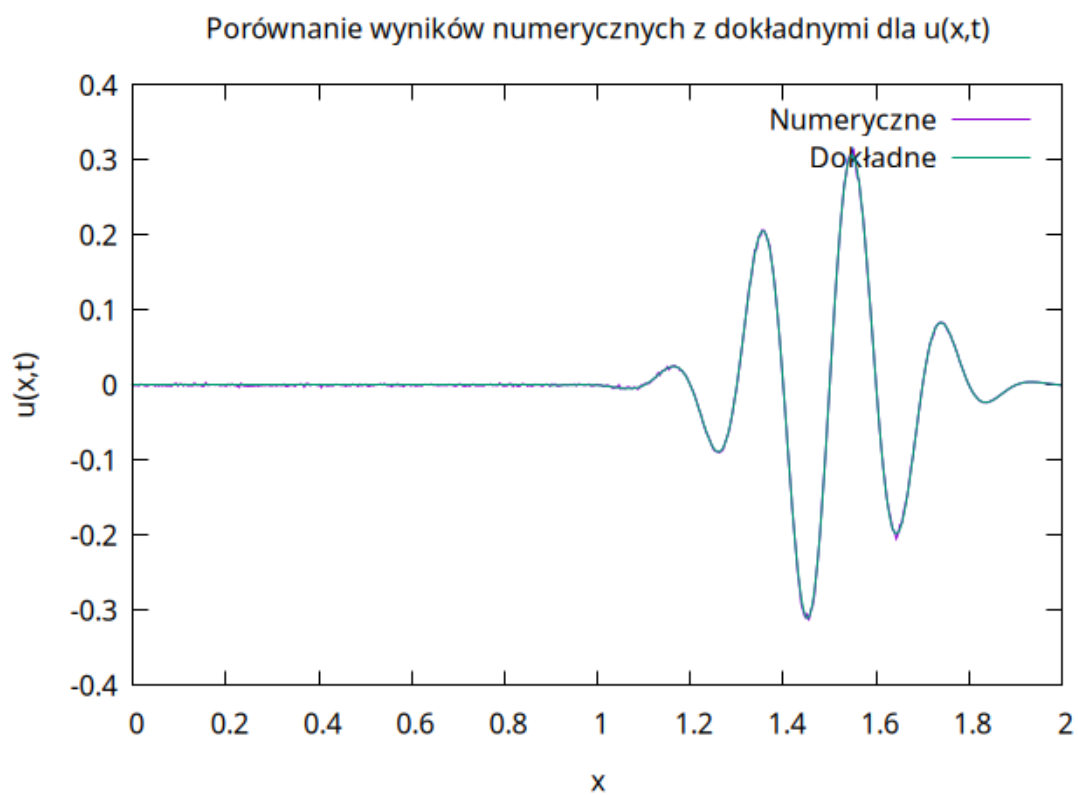
Rys. 1: Porównanie wyników numerycznych z dokładnymi dla $u(x,t)$ dla $t = 10, n = 10^3$.



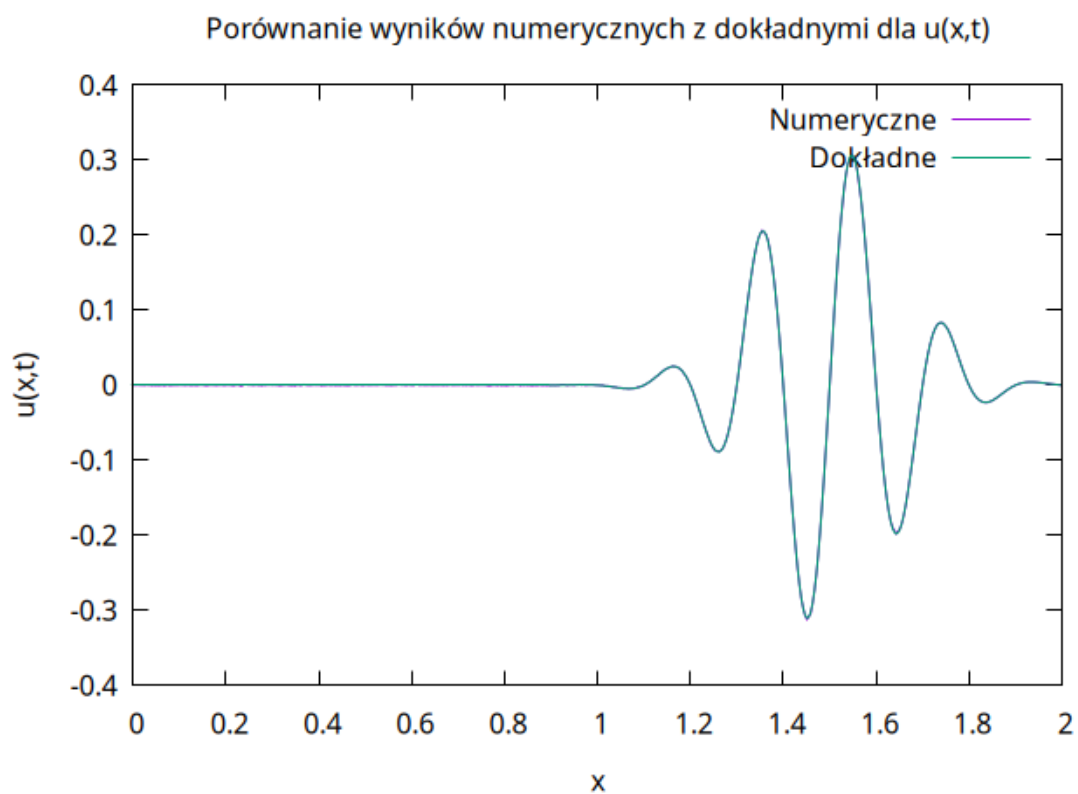
Rys. 2: Porównanie wyników numerycznych z dokładnymi dla $u(x,t)$ dla $t = 10, n = 10^4$.



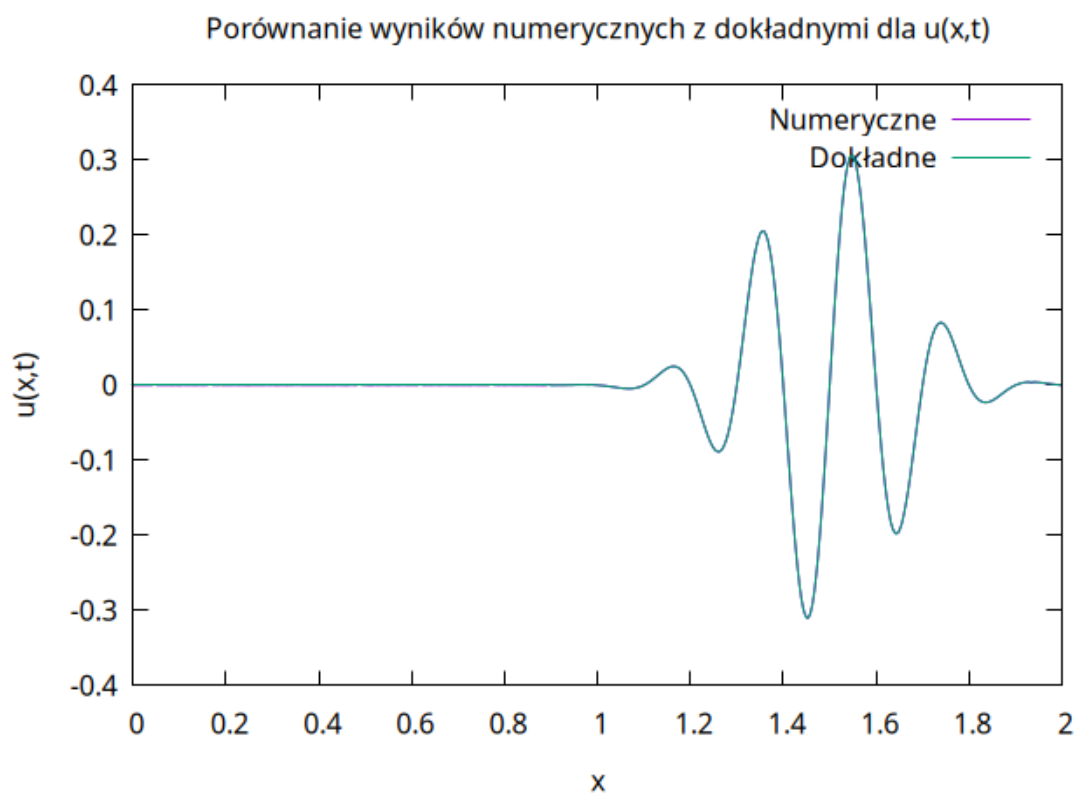
Rys. 3: Porównanie wyników numerycznych z dokładnymi dla $u(x,t)$ dla $t = 10, n = 10^5$.



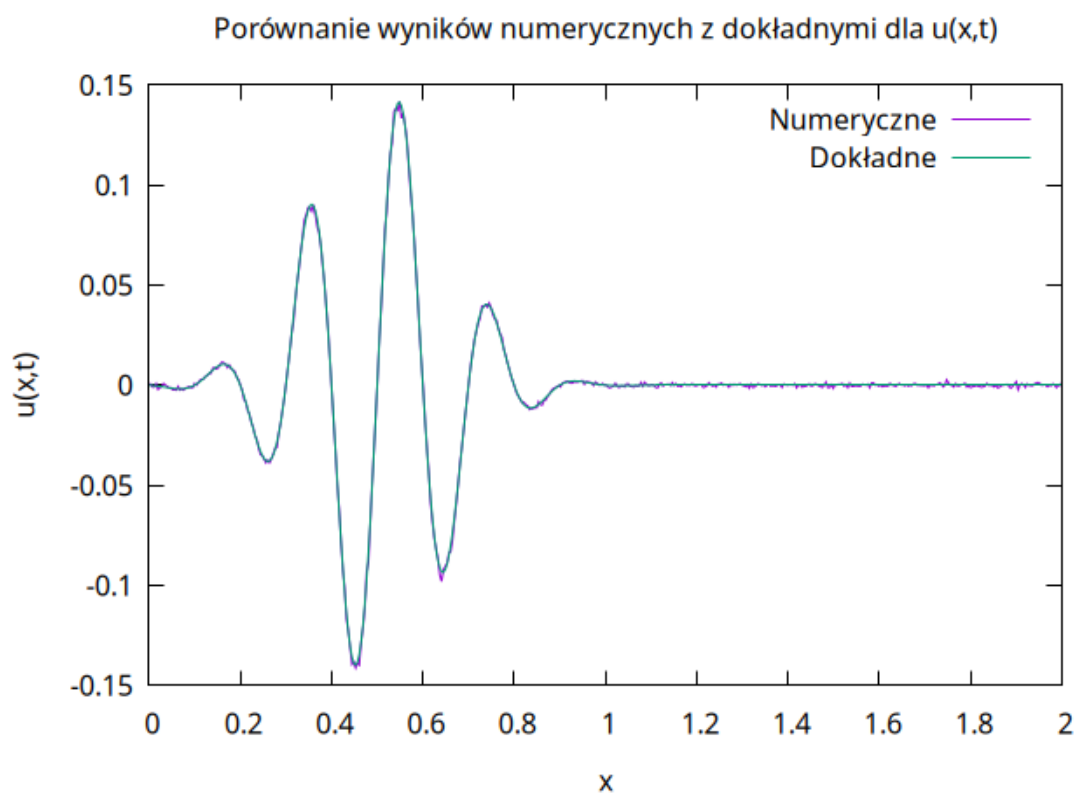
Rys. 4: Porównanie wyników numerycznych z dokładnymi dla $u(x,t)$ dla $t = 15, n = 10^3$.



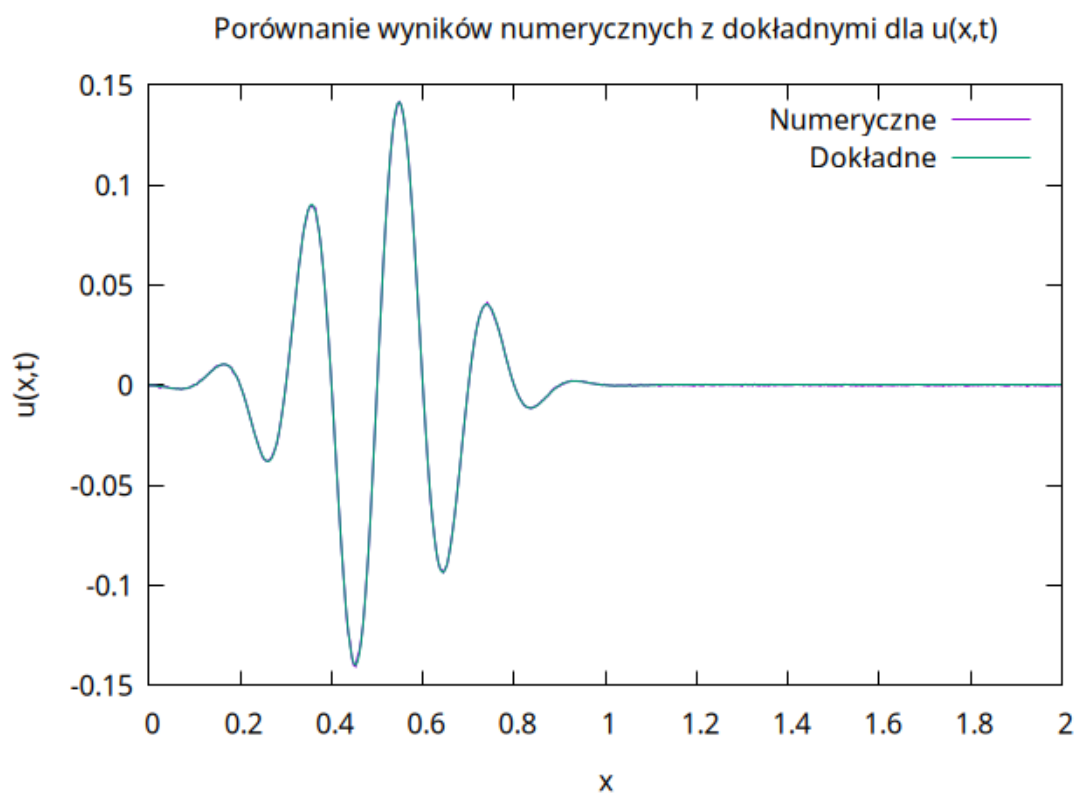
Rys. 5: Porównanie wyników numerycznych z dokładnymi dla $u(x,t)$ dla $t = 15, n = 10^4$.



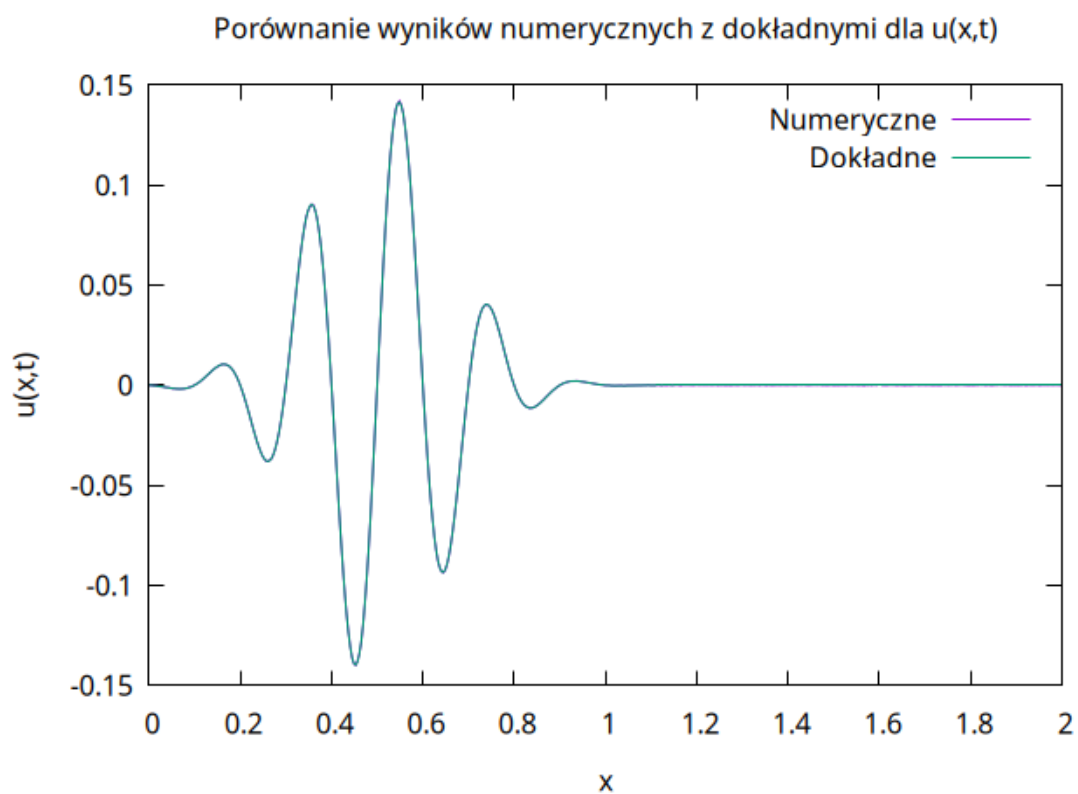
Rys. 6: Porównanie wyników numerycznych z dokładnymi dla $u(x,t)$ dla $t = 15, n = 10^5$.



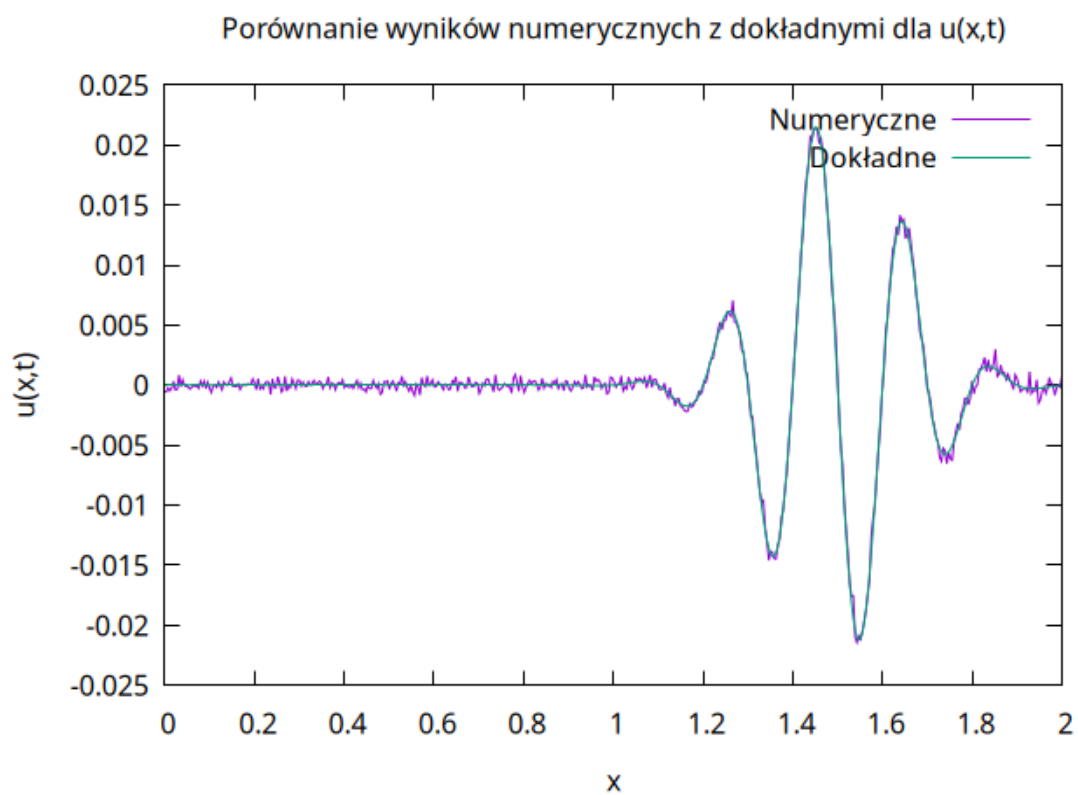
Rys. 7: Porównanie wyników numerycznych z dokładnymi dla $u(x,t)$ dla $t = 25, n = 10^3$.



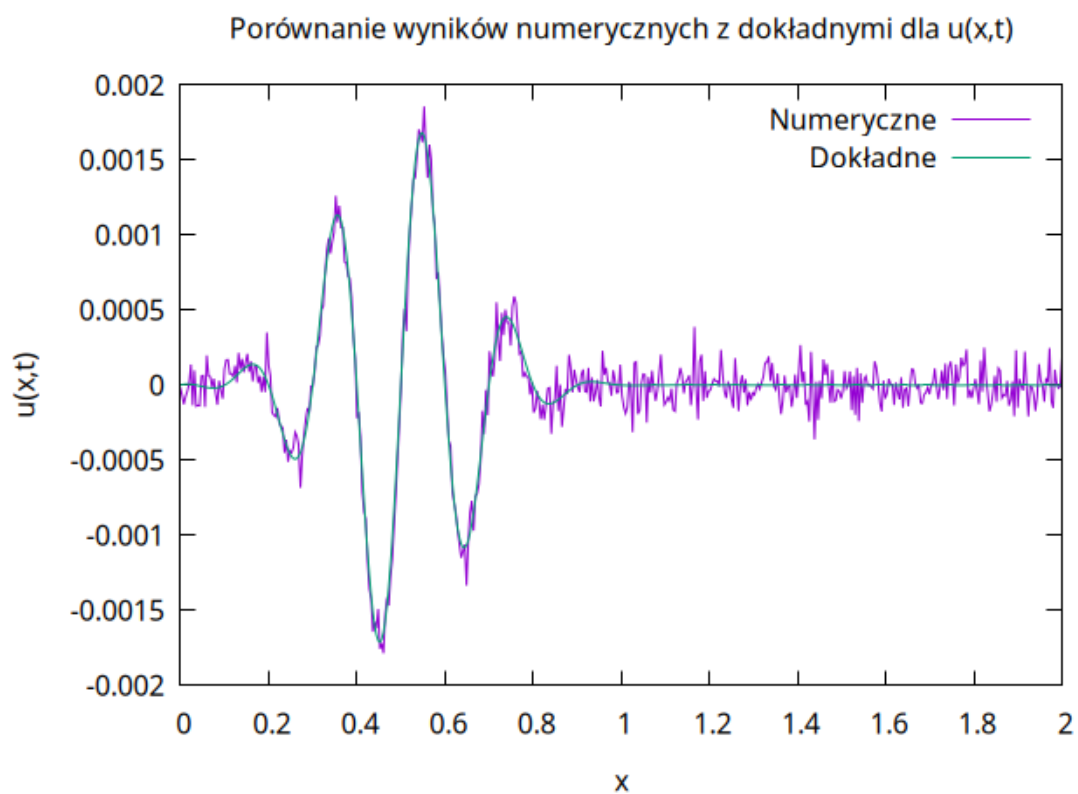
Rys. 8: Porównanie wyników numerycznych z dokładnymi dla $u(x,t)$ dla $t = 25, n = 10^4$.



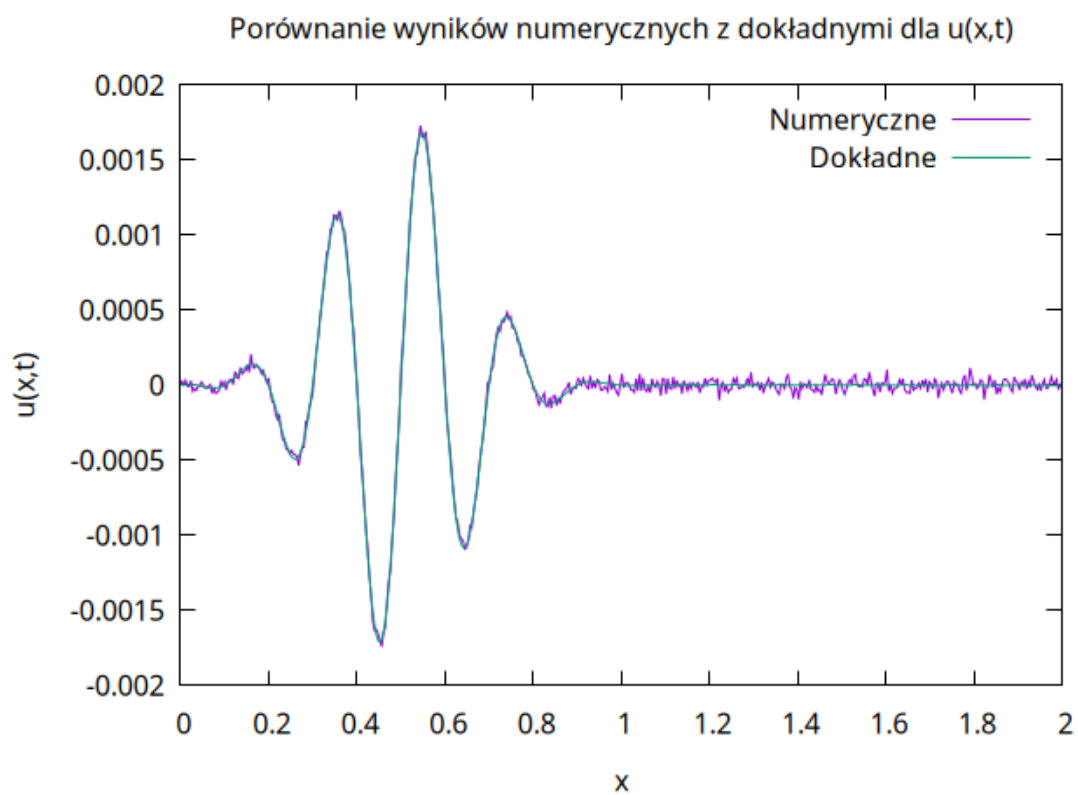
Rys. 9: Porównanie wyników numerycznych z dokładnymi dla $u(x,t)$ dla $t = 25, n = 10^5$.



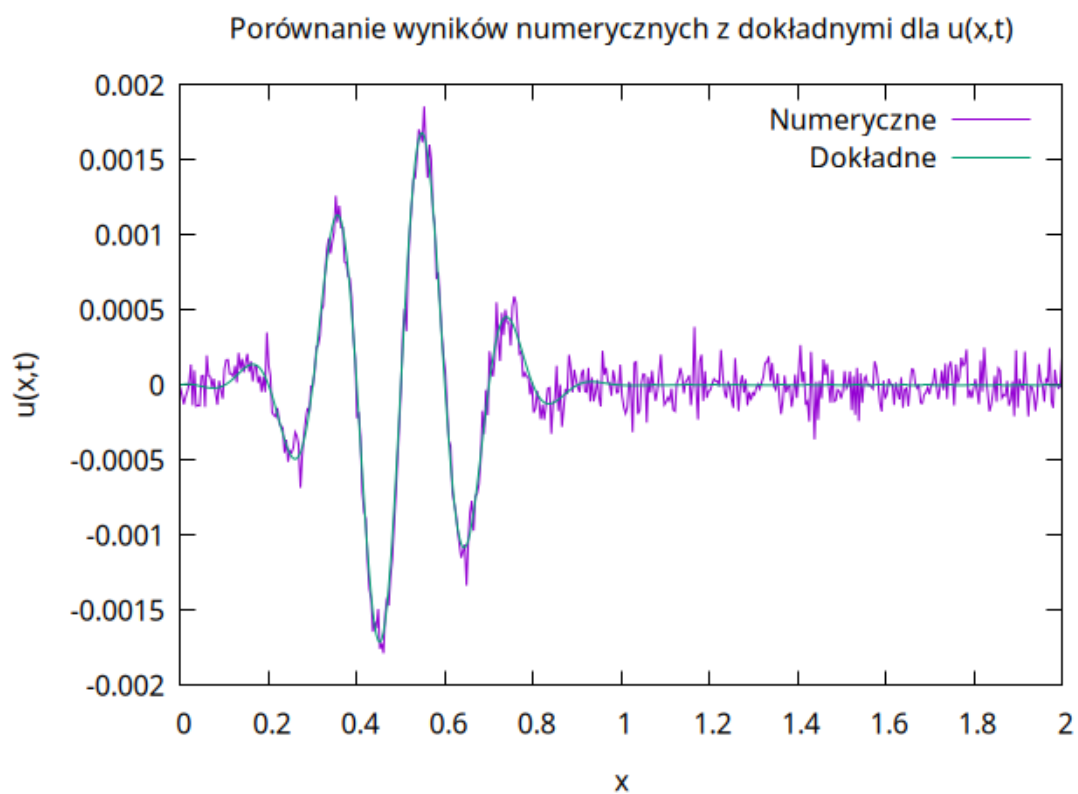
Rys. 10: Porównanie wyników numerycznych z dokładnymi dla $u(x,t)$ dla $t = 35, n = 10^3$.



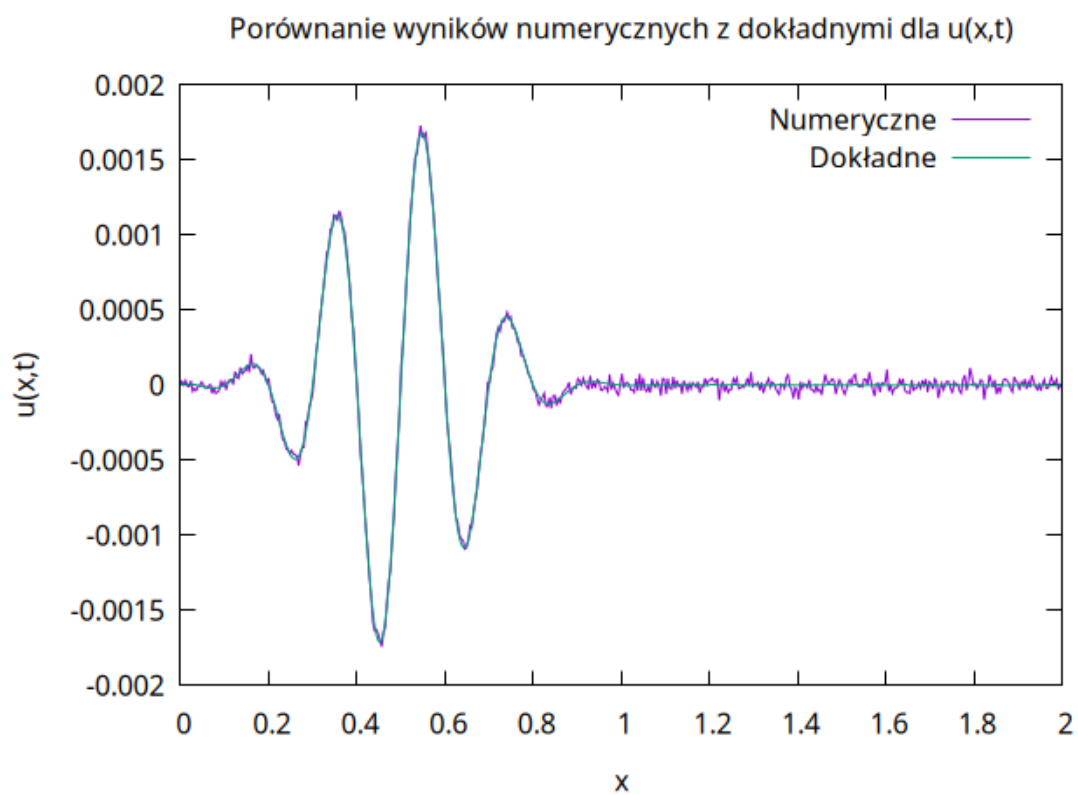
Rys. 11: Porównanie wyników numerycznych z dokładnymi dla $u(x,t)$ dla $t = 35, n = 10^4$.



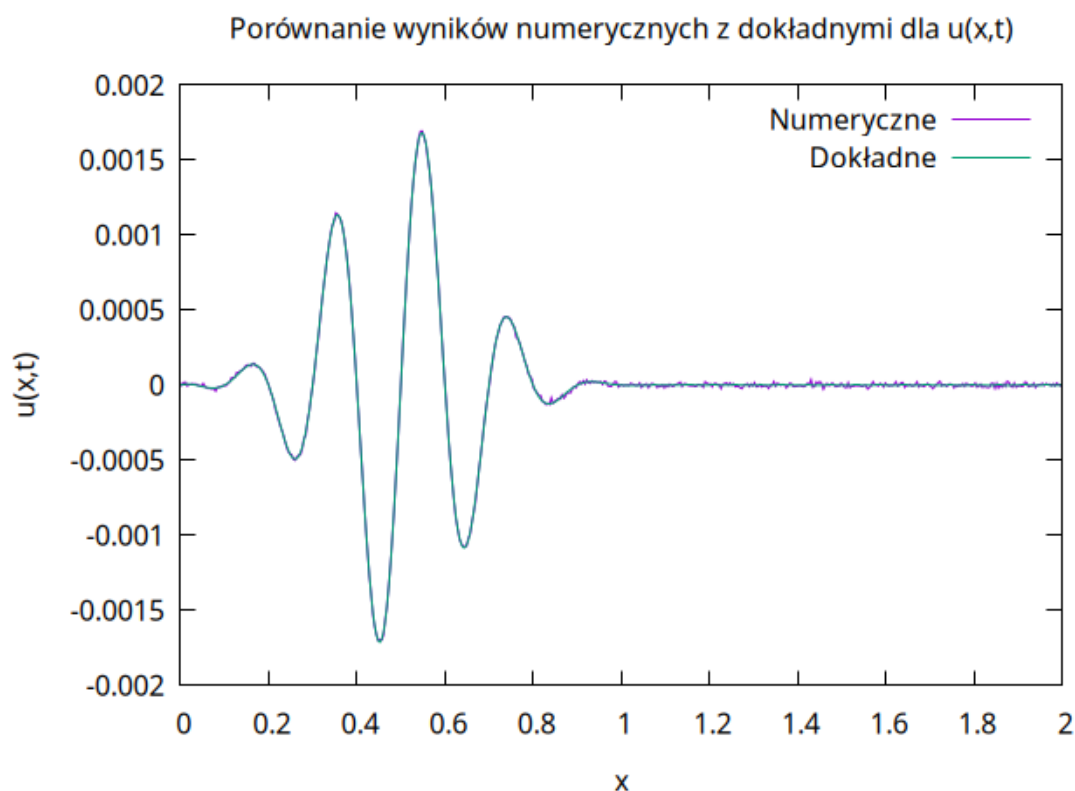
Rys. 12: Porównanie wyników numerycznych z dokładnymi dla $u(x,t)$ dla $t = 35, n = 10^5$.



Rys. 13: Porównanie wyników numerycznych z dokładnymi dla $u(x,t)$ dla $t = 50, n = 10^3$.



Rys. 14: Porównanie wyników numerycznych z dokładnymi dla $u(x,t)$ dla $t = 50, n = 10^4$.



Rys. 15: Porównanie wyników numerycznych z dokładnymi dla $u(x, t)$ dla $t = 50, n = 10^5$.

Dla późniejszych chwil czasowych wyniki numeryczne mogą mieć duże zaburzenia głównie z powodu dwóch głównych czynników:

Wpływ warunków brzegowych i propagacja błędów: Algorytm Monte Carlo, który jest stosowany do rozwiązywania równań całkowych opisujących propagację sygnału elektrycznego, jest wrażliwy na jakość generowanych trajektorii oraz dokładność uwzględniania warunków brzegowych. Wraz z upływem czasu i kolejnymi odbiciami od końców linii (gdzie występują warunki brzegowe), błędy mogą się kumulować, co prowadzi do większych rozbieżności względem rozwiązania dokładnego.

Wzrost liczby trajektorii: W przypadku bardziej zaawansowanych czasowo punktów pomiarowych (takich jak $t = 25$ ns, 35 ns, 50 ns), liczba trajektorii (n_{paths}) może okazać się niewystarczająca. Algorytm Monte Carlo jest metodą statystyczną, więc aby uzyskać wyniki o większej dokładności, może być konieczne zwiększenie liczby trajektorii.

3 Podsumowanie

Podsumowując, algorytm Monte Carlo jest skutecznym narzędziem do symulacji propagacji sygnału elektrycznego w linii transmisyjnej, jednakże jego dokładność dla późniejszych chwil czasowych może być ograniczona przez wpływ błędów propagacyjnych i warunków brzegowych. Aby poprawić zgodność wyników z rozwiązaniem dokładnym, kluczowe jest zwiększenie liczby trajektorii oraz dokładne uwzględnienie mechanizmów odbicia sygnału na końcach linii. Optimalizacja parametrów symulacji i implementacja zaawansowanych technik próbkowania mogą dalszo zwiększyć efektywność algorytmu w kontekście bardziej zaawansowanych czasowo analiz.